

РОССИЙСКАЯ АКАДЕМИЯ НАУК

СИБИРСКОЕ ОТДЕЛЕНИЕ

А В Т О М Е Т Р И Я

---

2005, том 41, № 3

УДК 621.391.266

Р. Г. Хафизов, Д. Г. Хафизов  
(Йошкар-Ола)

РАСПОЗНАВАНИЕ ГРУППОВЫХ ТОЧЕЧНЫХ ОБЪЕКТОВ  
НА ОСНОВЕ ПРЕДСТАВЛЕНИЯ В СОБСТВЕННОЙ СИСТЕМЕ  
ОТСЧЕТА КВАТЕРНИОННЫХ СИГНАЛОВ<sup>\*</sup>

Рассмотрено представление кватернионных сигналов, описывающих пространственные групповые точечные объекты, в собственной системе отсчета. Введены структурные признаки образа, задаваемого кватернионным сигналом, инвариантные к операциям вращения и масштабирования. Решена задача распознавания кватернионных сигналов, представленных в собственной системе отсчета, не требующая выполнения операции предварительного совмещения сигналов.

Введение и постановка задачи. Современные научно-технические задачи в области ориентации летательных и космических аппаратов часто сводятся к обработке информации, получаемой от расположенных на плоскости или в пространстве групп точечных объектов. Примерами таких групповых точечных объектов (ГТО) могут служить изображения звезд в машинном кадре астродатчика летательного аппарата (рис. 1, *a*), изображения на дисплее радиолокационной или гидролокационной станции (рис. 1, *b*), изображения объемных объектов различного характера (рис. 1, *c*) [1–3].

Одним из эффективных подходов к обработке изображений ГТО с целью оценки их параметров, распознавания и идентификации является трактовка этих изображений как определенного вида сигналов. Для их обработки используются обычные методы теории сигналов: спектральный и корреляционный анализ, различные виды фильтрации.

Так, например, в работе [3] предлагается в качестве одного из возможных подходов к созданию теории обработки пространственно расположенных объектов применение алгебры гиперкомплексных чисел (в частности, теории кватернионных сигналов), включающей в качестве частного случая анализ комплексных сигналов. На основе скалярного произведения комплексных чисел вводится скалярное произведение кватернионов, являющееся мерой их схожести и как следствие мерой схожести задаваемых ими кватернионных сигналов (КТС). Данное скалярное произведение позволило задать ортонормированную систему отсчета для представления таких сигналов,

---

\* Работа выполнена при финансовой поддержке Российского фонда фундаментальных исследований (проект № 04-01-00243).

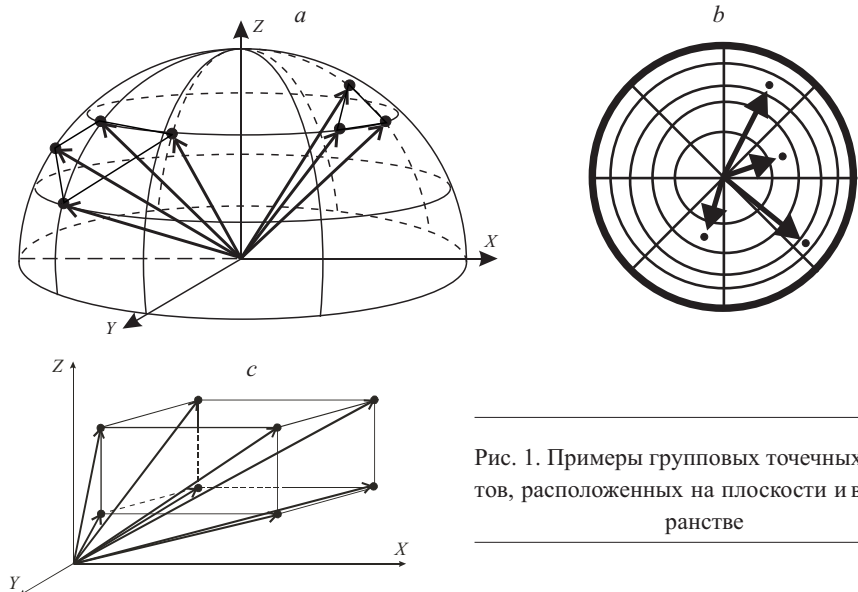


Рис. 1. Примеры групповых точечных объектов, расположенных на плоскости и в пространстве

ввести КТС, осуществить разложение и фильтрацию произвольных КТС. Однако, как показано в работе [4], операция скалярного произведения двух КТС не инвариантна к вращению одного из них в пространстве. Неинвариантность модуля скалярного произведения КТС к величине угла их взаимного поворота в значительной степени усложняет процедуру распознавания по сравнению со случаем комплекснозначных сигналов. Для принятия решения о классе зашумленного и преобразованного КТС необходимо выполнить дополнительные операции: либо найти оценку угла его поворота относительно эталонного сигнала своего класса и затем скорректировать угловое рассогласование, либо выполнить близкую по содержанию операцию совмещения двух КТС. При наличии шумов каждая из этих операций сопровождается дополнительной ошибкой, что в конечном счете снижает вероятность правильного распознавания сигнала и значительно увеличивает время принятия решения по сравнению со случаем, когда отсутствует угловое рассогласование между распознаваемым и эталонным КТС.

В связи с этим значительный интерес представляют подходы к распознаванию КТС, свободные от дополнительных операций по сравнению с комплекснозначными сигналами. Один из таких подходов базируется на задании кватернионного сигнала в собственной системе отсчета. Целью данной работы является создание методики формирования представления КТС, инвариантного к пространственному расположению распознаваемого КТС относительно эталонного.

Мера схожести кватернионных сигналов. Пространственно расположенный точечный объект можно описать при помощи пучка векторных кватернионов или кватернионного сигнала, задаваемого в следующем виде [2, 3]:

$$\mathbf{Q} = \{q(n)\}_{0,s-1} = \{q_0(n) \quad q_1(n)i \quad q_2(n)j \quad q_3(n)k\}_{0,s-1},$$

где  $s$  – размерность сигнала, определяемая количеством векторов в пучке;  $q_0(n), q_1(n), q_2(n)$  и  $q_3(n)$  – произвольные вещественные числа. Здесь  $i, j, k$  мнимые единицы.

В отличие от умножения комплексных чисел операция умножения кватернионов является некоммутативной:  $ij = ji, ik = ki, jk = kj$ . Кватернионы тесно связаны с комплексными числами и выражаются через них [3, 5]. Например, первая комплексная форма, или  $i$ -представление,

$$q = t^{(i)} w^{(i)} j,$$

где  $t^{(i)} = q_0 - q_1 i$  и  $w^{(i)} = q_2 - q_3 i$ .

Одним из основных преимуществ применения кватернионов для описания трехмерных объектов является простота выполнения операции вращения. При повороте КТС  $Q$  на угол  $2\pi$  вокруг оси, направление которой определяется единичным вектором  $r$ , на идентичный угол поворачиваются все векторы сигнала вокруг оси:

$$Q_{\cdot, r} = b Q b^{-1},$$

где  $b = b_0 + b_1 i + b_2 j + b_3 k = \cos \theta + r \sin \theta$  – вращающий кватернион;  $b^{-1}$  – кватернион, обратный кватерниону  $b$ , т. е.  $bb^{-1} = 1$ .

Основной базовой операцией при линейной обработке сигналов является скалярное произведение, служащее мерой их схожести. К образованию скалярного произведения обрабатываемого и эталонного сигналов сводятся такие операции, как разложение и фильтрация сигналов, а также получение их корреляционных функций. В действительном линейном пространстве  $E^{3s}$  скалярное произведение двух КТС  $P$  и  $Q$  записывается как [2]

$$E^{3s} \quad (\mathbf{P}, \mathbf{Q})_{E^{3s}} = \sum_{n=0}^{s-1} p_0(n) q_0(n)$$

$$p_1(n) q_1(n) \quad p_2(n) q_2(n) \quad p_3(n) q_3(n)$$

и представляет собой действительное число, а в гиперкомплексном пространстве  $H^s$

$$H^s \quad (\mathbf{P}, \mathbf{Q})_{H^s} = \sum_{n=0}^{s-1} (p_0(n) q_0(n) \quad p_1(n) q_1(n) \quad p_2(n) q_2(n) \quad p_3(n) q_3(n))$$

$$i \sum_{n=0}^{s-1} (-p_0(n) q_1(n) \quad p_1(n) q_0(n) \quad p_2(n) q_3(n) \quad p_3(n) q_2(n))$$

$$j \sum_{n=0}^{s-1} (-p_0(n) q_2(n) \quad p_1(n) q_3(n) \quad p_2(n) q_0(n) \quad p_3(n) q_1(n))$$

$$k \sum_{n=0}^{s-1} (-p_0(n)q_3(n) - p_1(n)q_2(n) - p_2(n)q_1(n) + p_3(n)q_0(n))$$

– полный кватернион, который можно записать в виде суммы вещественных и мнимых компонент:  $q_0 + q_1i + q_2j + q_3k$ .

Расстояние между двумя КТС  $P$  и  $Q$

$$R^2 = \|P\|^2 + \|Q\|^2 - 2\operatorname{Re}(P, Q), \quad (1)$$

где  $\|P\|^2$  и  $\|Q\|^2$  – квадраты нормы КТС  $P$  и  $Q$  соответственно, равные суммам квадратов модулей составляющих их кватернионов:

$$\|Q\|^2 = \sum_{n=0}^{s-1} |q(n)|^2 = \sum_{n=0}^{s-1} q(n)q^*(n);$$

$q^*(n)$  – кватернион, сопряженный с соответствующим кватернионом  $q(n)$ , т. е.

$$q^*(n) = q_0(n) - q_1(n)i - q_2(n)j - q_3(n)k.$$

Если КТС  $P$  и  $Q$  нормированы, т. е.  $Q_h = Q/\|Q\|$  и  $P_h = P/\|P\|$ , то расстояние между ними

$$R_h^2 = 2[1 - \operatorname{Re}(P_h, Q_h)],$$

где  $(P_h, Q_h)$  – нормированное скалярное произведение КТС:

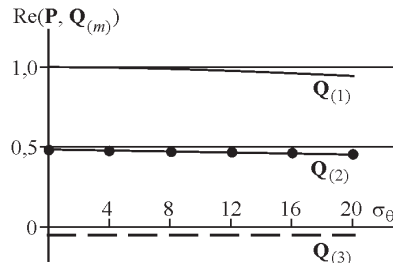
$$h = \frac{(P, Q)}{\|P\|\|Q\|} = \frac{(P, Q)}{\|P\|\|Q\|}.$$

Взаимная энергия связи двух КТС  $P$  и  $Q$  определяется величиной модуля их скалярного произведения. При  $P \neq Q$  их взаимная энергия максимальна и равна энергии КТС  $Q$ , т. е.  $|h| = \|Q\|^2$ .

Таким образом, значение  $|h|$ , как и расстояние  $R_h^2$ , может служить мерой схожести двух КТС. Однако, как показано в [2, 3], величина модуля нормированного скалярного произведения КТС  $Q$  и  $P$  меняется при повороте одного из них. Последнее обстоятельство затрудняет применение данной статистики для принятия решения о классе сигнала.

Распознавание пространственно заданных точечных объектов на основе анализа кватернионных сигналов. Задача распознавания КТС ставится следующим образом. Задан некоторый сигнальный (распознаваемый) КТС  $P = \{p(n)\}_{0, s-1}$ , представляющий собой зашумленный, масштабированный в  $|r|$  раз, повернутый на угол  $\theta$  вокруг оси, задаваемой единичным вектором  $r$ , со смещенной на величину  $d$  нумерацией своих кватернионов КТС  $Q$ . Необ-

Рис. 2. Графики зависимости реальной части скалярного произведения от СКО углового шума



ходимо на основе принятого критерия вынести решение о принадлежности сигнального КТС  $P$  к одному из  $M$  классов, представленных в виде эталонных КТС  $Q_{(m)}$ , где  $m$  – номер класса,  $m = 1, 2, \dots, M$ .

Решение задачи распознавания КТС  $P$  осуществляется на основе критерия минимума расстояния между сигнальным  $P$  и эталонным  $Q_{(m)}$  КТС, т. е.

$$P \in A_m \text{ при } R_{P, Q_{(m)}} \underset{m}{\min}.$$

Если сигнальный и все эталонные КТС пронормированы, то  $\|P\| = \|Q\| = 1$  и из выражения (1) следует, что

$$P \in A_m \text{ при } Re(P, Q_{(m)}) \underset{m}{\max}.$$

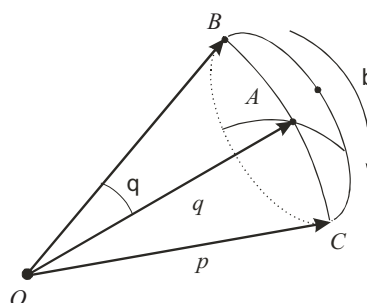
Рассмотрим в качестве примера случай распознавания трех КТС:

$$\begin{aligned} Q_{(1)} &= \{i \ j \ k; i \ 2j \ k; i \ 2j \ 2k\}; \\ Q_{(2)} &= \{2i \ j; 2i \ j \ k; 2i \ j \ 1,5k\}; \\ Q_{(3)} &= \{1,5i \ 1,5j \ 2k; 1,5i \ 2j \ 1,8k; 1,8i \ 2j \ k\}. \end{aligned} \quad (2)$$

Все КТС имеют размерность  $s = 3$ . На рис. 2 приведены зависимости реальной части нормированного скалярного произведения зашумленного КТС  $P$   $Q_{(1)}$  и эталонных КТС всех трех классов от выраженного в градусах среднеквадратического отклонения (СКО) углового координатного шума [6, 7].

Координатный шум представляет собой ошибки измерения угловых координат точки, задающей векторный кватернион, которые носят случайный характер, а их значения подчиняются нормальному закону распределения вероятностей с нулевым математическим ожиданием и СКО . Процесс зашумления кватерниона  $q$  координатным угловым шумом поясняется рис. 3. Здесь изображен сферический сегмент с центральным углом  $2\pi$ , ось которого совпадает с исходным кватернионом  $q$  и, следовательно, отрезки  $OA$ ,  $OB$ ,  $OC$ . Зашумленный кватернион задает произвольную точку в пределах сегмента сферы, ограниченного конусом. При воздействии углового координатного шума модуль исходного кватерниона  $q$  сохраняется.

Рис. 3. Получение кватерниона, задающего в трехмерном пространстве зашумленный по угловым координатам точечный объект



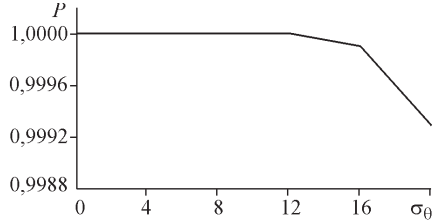


Рис. 4. График зависимости оценки вероятности правильного распознавания от СКО углового шума (в качестве сигнального используется

На рис. 4 представлена характеристика распознавания  $P_{\text{пр}} = f(\sigma_0)$ , т. е. зависимость вероятности правильного распознавания от уровня углового координатного шума для случая, когда сигнальный КТС относится к первому классу.

Характеристики распознавания КТС зависят от расположения в пространстве эталонов [3], что, очевидно, связано с неинвариантностью скалярного произведения двух КТС при вращении одного из них.

Из-за неинвариантности модуля скалярного произведения двух КТС при вращении одного из них величина взаимной энергии нормированных кватернионных сигналов, т. е. степень схожести КТС, меняется. Следствием этого эффекта является зависимость принимаемого решения о классе распознаваемого КТС  $\mathbf{Q}$  от расположения эталонов в пространстве. Поэтому перед получением скалярного произведения распознаваемого Р и эталонного  $\mathbf{Q}_m$  сигналов необходимо обеспечить их совмещение, что усложняет процесс принятия решения о классе КТС [4].

Представление произвольного векторного КТС в собственной системе отсчета. Такое представление, позволяющее исключить операцию коррекции угла поворота, может быть получено при использовании свойства конформности (сохранения углов между кватернионами) операции вращения векторного КТС [3], т. е. угол между двумя кватернионами  $q(n)$  и  $q(n-1)$ , входящими в состав КТС  $\mathbf{Q} = \{q(n)\}_{0, s-1}$ , определяемый как

$$\cos(\theta(n)) = \frac{q_1(n)q_1(n-1) + q_2(n)q_2(n-1) + q_3(n)q_3(n-1)}{\|q(n)\|\|q(n-1)\|}, \quad n = 0, 1, \dots, s-1, \quad (3)$$

сохраняется при любых вращениях КТС  $\mathbf{Q}$  в пространстве. Пусть КТС  $\mathbf{P} = \{p(n)\}_{0, s-1}$  образован путем вращения КТС  $\mathbf{Q} = \{q(n)\}_{0, s-1}$ , т. е.  $\mathbf{P} = b\mathbf{Q}b^{-1}$ .

На основании свойства конформности операции вращения угол между двумя соседними кватернионами повернутого КТС будет по-прежнему определяться выражением (3), которое применительно к КТС  $\mathbf{P} = \{p(n)\}_{0, s-1}$  имеет вид

$$\cos(\theta(n)) = \frac{p_1(n)p_1(n-1) + p_2(n)p_2(n-1) + p_3(n)p_3(n-1)}{\|p(n)\|\|p(n-1)\|}, \quad n = 0, 1, \dots, s-1. \quad (4)$$

Упорядоченная последовательность  $\cos(\theta(n)), n = 0, 1, \dots, s-1$ , задает угловую структуру КТС в собственной системе отсчета, обладающую свойством инвариантности к вращениям. Обозначим такую последовательность как  $\mathbf{Q} = \{\cos(\theta(n))\}_{0, s-1}$ . С учетом данного обозначения можно записать:

$$\mathbf{Q} = \text{const} \text{ для любого векторного КТС вида } b\mathbf{Q}b^{-1}.$$

Модульная структура КТС, понимаемая как совокупность модулей кватернионов, входящих в состав КТС, определяется последовательностью

$$W = \frac{1}{\|Q\|} |q(0)|, |q(1)|, \dots, |q(s-1)| = \frac{|q(n)|}{\|Q\|}_{0, s-1}.$$

Эта структура инвариантна к изменению масштаба сигнала:

$$W = \text{const} \text{ для любого векторного КТС вида } hW,$$

где  $h \neq 0$  – произвольное вещественное число.

Последовательности  $Q$  и  $W$  являются структурными признаками образа, задаваемого кватернионным сигналом. Они не меняются при вращении и масштабировании КТС, а при сдвиге номера начального кватерниона на величину  $d$  происходит аналогичный циклический сдвиг элементов в этих последовательностях. Вместе с тем совокупность последовательностей  $Q$  и  $W$  не позволяет однозначно восстановить исходный КТС  $Q$ . Наличие информации о значении угла  $\theta(n)$  между кватернионами  $q(n-1)$  и  $q(n)$  при известном кватернионе  $q(n)$  недостаточно для определения кватерниона  $q(n-1)$ . Как видно из рис. 5, существует бесконечное множество кватернионов, образующих с кватернионом  $q(n)$  угол  $\theta(n)$ . Они задают образующие конуса с углом  $\theta(n)$  при вершине и осью, определяемой кватернионом  $q(n)$ .

Для обеспечения однозначного задания КТС  $Q$  кроме последовательностей  $Q$  и  $W$  необходимо задать еще и кватернионный сигнал  $R = \{r(n)\}$ , кватернионы которого определяют нормали к граням тела, образуемым каждой парой кватернионов  $q(n-1)$  и  $q(n)$ ,  $n = 0, 1, \dots, s-1$ . Именно поворот кватерниона  $q(n)$  вокруг нормали  $r(n)$  на угол  $\theta(n)$  даст кватернион  $q(n-1)$ . Тем не менее сами по себе последовательности  $Q$  и  $W$  в целом ряде случаев обладают высокой информативностью для правильного принятия решения о классе КТС.

Создадим на основе последовательностей  $Q = \{\cos \theta(n)\}_{0, s-1}$  и  $W = \frac{|q(n)|}{\|Q\|}_{0, s-1}$  одну последовательность  $F = \{\theta(n)\}_{0, s-1}$ , объединяющую со-

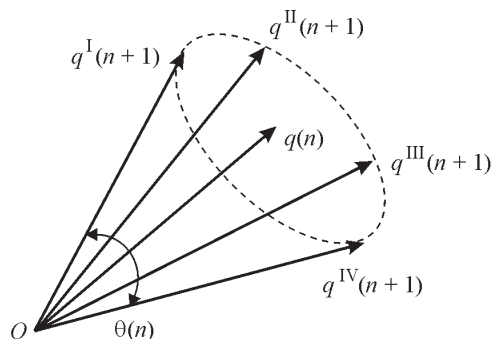


Рис. 5. Пример неоднозначности задания кватерниона  $q(n-1)$

содержащуюся в них информацию о КТС  $\mathbf{Q} = \{q(n)\}_{0, s-1}$ :

$$(n) \quad \frac{|q(n)|}{\|\mathbf{Q}\|} \cos(\theta(n))$$

$$\frac{1}{\|\mathbf{Q}\|} \frac{q_1(n)q_1(n-1) - q_2(n)q_2(n-1) - q_3(n)q_3(n-1)}{|q(n-1)|}, \quad n = 0, 1, \dots, s-1. \quad (5)$$

Последовательность  $F = \{F(n)\}_{0, s-1}$  в векторном виде будем рассматривать в качестве сигнала, имеющего ту же размерность, что и КТС  $\mathbf{Q}$ , и отражающего его структуру.

Рассмотрим в качестве примера КТС

$$\mathbf{P} = \{5,3472i, 0,2679j, 2,708k; \\ 3,226i, 1j, 5,347k; \\ 2,967i, 3,464j, 3,346k; \\ 0,828i, 3,732j, 6,433k\},$$

полученный из исходного КТС

$$\mathbf{Q} = \{2i, j, 2k; 3i, k; 2i, 2j; 3i, j, 2k\}$$

поворотом вокруг оси X на угол  $2_x = 30^\circ$ , затем поворотом вокруг оси Y на угол  $2_y = 75^\circ$  и увеличением масштаба в 2 раза.

Получив в соответствии с выражением (5) структурные представления  $F_Q$  и  $F_P$  сигналов Q и P, видим, что эти представления совпадают и равны:

$$F_P = F_Q = \{0,416; 0,296; 0,442; 0,125\}.$$

Пусть далее КТС  $\mathbf{G} = \{2i, 2j, 3i, j, 2k, 2i, j, 2k, 3i, k\}$  получен из КТС Q сдвигом начального кватерниона на два элемента. Его структурное представление

$$F_G = \{0,442; 0,125; 0,416; 0,296\}$$

с аналогичным циклическим сдвигом на два элемента отличается от структурных представлений  $F_P$  и  $F_Q$ .

Рассмотренный выше подход к получению структурных представлений кватернионных сигналов распространяется и на комплексные сигналы. Причем, если объект представляет собой плоскую фигуру и задан контуром на плоскости в комплекснозначном виде или в пространстве в виде кватернионного сигнала, его структурные представления для обоих случаев совпадают.

Например, пусть контур плоского изображения имеет вид

$$G = \{3; 5i; 5 - 3i; -10i; -2 - 5i; -2 - 2i; -4 - 5i\}.$$

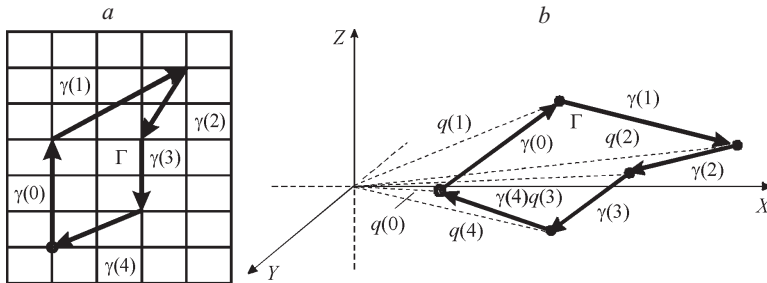


Рис. 6. Представление объекта в виде контура: на плоскости (a) и в пространстве (b)

После поворота его на 90°, растяжения в 2 раза и сдвига начальной точки на три элемента он станет равен

$$N \{20; 10 - 4i; 4 - 4i; 10 - 8i; 6i; 10; 6 - 10i\}.$$

Структурные представления контуров G и N имеют вид

$$F_G \{0; 0,191; 0,328; 0,319; 0,071; 0,045; 0,119\};$$

$$F_N \{0,319; 0,071; 0,045; 0,119; 0; 0,191; 0,328\}.$$

Видно, что последнее выражение повторяет выражение для исходного изображения с точностью до сдвига на три элемента.

Далее, пусть изображение фигуры на плоскости задано в виде контура (рис. 6, a)

$$G \{3i; 3 - 2i; 1 - 2i; 2i; 2 - i\}.$$

Структурное представление этого комплекснозначного сигнала, полученное с помощью выражения (3), записывается как

$$F_G \{0,3333; 0,32358; 0,29814; 0,16667; 0,22361\}.$$

Расположим теперь эту фигуру в пространстве так, чтобы точки ее вершины задавались кватернионным сигналом вида (рис. 6, b)

$$Q \{1,39719i - 0,17365j - 0,13302k; 3,66041i - 0,69459j - 1,76604k; \\ 7,09759i - 1,04189j - 0,73396k; 4,94599i - 0,69459j - 0,23396k; \\ 3,43718i - 0,34730j - 1,03209k\}.$$

Пространственный контур фигуры есть

$$G \{2,26322i - 0,52094j - 1,89906k; 3,43718i - 0,3473j - 1,03208k; \\ 2,1516i - 0,3473j - 0,5k; 1,50881i - 0,34729j - 1,26605k; \\ 2,03999i - 0,17365j - 0,89907k\}.$$

## Структурное представление

$$F = \{0,3333; 0,32358; 0,29814; 0,16667; 0,22361\},$$

полученное для пространственного контура, совпадает с представлением для контура фигуры, расположенной на плоскости.

Для повышения помехоустойчивости представления КТС в собственной системе отсчета начало этой системы целесообразно расположить в центре тяжести ГТО. Положение центра тяжести зашумленного ГТО имеет среднеквадратическое отклонение от его истинного положения в  $\sqrt{s}$  раз меньше, чем среднеквадратическое отклонение точек, входящих в состав объекта. Кватернион  $c$ , задающий радиус-вектор центра тяжести ГТО, равен

$$c = \frac{1}{s} \begin{pmatrix} s & 1 \\ s_n & 0 \end{pmatrix} q(n).$$

Учитывая более высокую устойчивость кватерниона  $c$  к воздействию шумов по сравнению с кватернионами  $q(n)$ ,  $n = 0, 1, \dots, s - 1$ , составляющими КТС, для углового описания КТС используются углы не между соседними кватернионами, а между текущим кватернионом  $q(n)$  и кватернионом  $c$ . В этом случае структурное представление КТС  $Q$  имеет вид

$$(n) = \frac{1}{\|Q\|} \begin{pmatrix} q_1(n)c_1 & q_2(n)c_2 & q_3(n)c_3 \\ |c| & & \end{pmatrix}, \quad n = 0, 1, \dots, s - 1. \quad (6)$$

Распознавание кватернионных сигналов на основе их структурного представления. Структурные представления КТС в виде выражения (5) или (6) являются информативными признаками формы сигналов. Они инвариантны к преобразованиям вращения и масштабирования. Сдвиг номера начального кватерниона в сигнале меняет лишь порядок компонент векторов этих представлений. Поэтому результаты распознавания зашумленных КТС по их структурным представлениям не будут зависеть от вращения, масштабирования зашумленного КТС и сдвига номера его начального кватерниона.

При использовании критерия минимума расстояния между структурными представлениями распознаваемого  $P = \{p(n)\}_{0, s-1}$  и эталонными  $P = A_m$ ,  $m = 0, 1, \dots, M - 1$ , кватернионными сигналами решение в пользу принадлежности к одному из  $M$  классов имеет вид

$$P = A_l \text{ при } R_{F_P, F_{Q(m)}} \min_m,$$

где

$$R_{F_P, F_{Q(m)}}^2 = \|F_P\|^2 - \|F_{Q(m)}\|^2 - 2(F_P, F_{Q(m)}), \quad m = 0, 1, \dots, M - 1,$$

– расстояние между векторами  $F_P$  и  $F_{Q(m)}$ , определяющее структурные представления распознаваемого сигнала  $P$  и эталонного сигнала  $Q_{(m)}$   $m$ -го

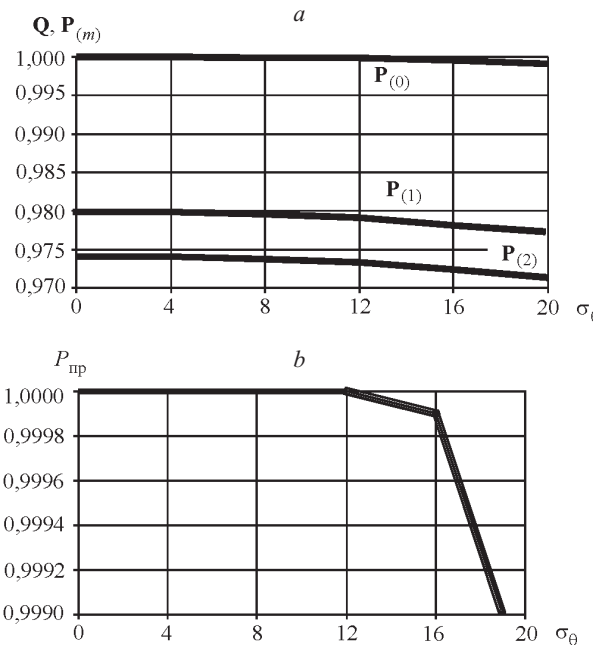


Рис. 7. Результаты распознавания КТС по их структурным представлениям: зависимость скалярного произведения зашумленного вектора класса  $A_0$  и эталонных векторов (а) и зависимость вероятности правильного распознавания КТС класса  $A_0$  (б) от СКО углового координаты

класса соответственно. При условии нормировки этих векторов решающее правило принимает вид

$$\mathbf{P} \quad A_m \text{ при } (\mathbf{F}_P, \mathbf{F}_{Q_{(m)}}) \underset{m}{\max}, \quad m = 0, 1, \dots, M - 1.$$

Здесь  $(\mathbf{F}_P, \mathbf{F}_{Q_{(m)}})$  – скалярное произведение нормированных векторов структурных представлений сигналов  $P$  и  $Q_{(m)}$ :

$$(\mathbf{F}_P, \mathbf{F}_{Q_{(m)}}) = \frac{\sum_{n=0}^{s-1} \mathbf{F}_P^T \mathbf{F}_{Q_{(m)}}}{\|\mathbf{F}_P\| \|\mathbf{F}_{Q_{(m)}}\|}.$$

Если в распознаваемом сигнале неизвестен кватернион с начальным номером, то в качестве достаточной статистики при вынесении решения используется максимальный среди отсчетов, формируемый  $M$  фильтрами, каждый из которых согласован с одним из эталонных представлений.

В качестве примера рассмотрим случай распознавания трех КТС, задаваемых выражением (2), на основе их представления в собственной системе отсчета. Кватернион  $c$ , задающий радиус-вектор центра тяжести, равен

$$c_1 = i + 1,667j + 1,333k; \quad c_2 = 2i + j + 0,167k; \quad c_3 = 0,6i + 1,833j + 1,6k.$$

Структурные представления КТС в виде (6) равны

$$F_{Q_{(0)}} = \{0,4; 0,5667; 0,7\}; \quad F_{Q_{(1)}} = \{0,522; 0,5046; 0,5481\}; \\ F_{Q_{(2)}} = \{0,5337; 0,43; 0,4945\}.$$

Результаты распознавания зашумленного сигнала нулевого класса, полученные при моделировании по результатам  $10^5$  опытов, приведены на рис. 7 и не зависят от того, был ли распознаваемый сигнал полностью известен или повернут по отношению к эталону своего класса на неизвестный угол.

**Заключение.** В данной работе рассмотрена методика распознавания кватернионных сигналов, заданных в собственной системе отсчета. При этом для формирования представления КТС используется как его модульная структура, так и фазовые соотношения между текущим кватернионом и предыдущим. Переход к заданию кватернионного сигнала в собственной системе отсчета позволяет устраниить зависимость результата распознавания от влияния операций вращения и масштабирования распознаваемого зашумленного сигнала, а также от расположения эталонных сигналов в пространстве.

#### СПИСОК ЛИТЕРАТУРЫ

1. Анисимов Б. В., Курганов В. Ф., Злобин В. К. Распознавание и цифровая обработка изображений. М.: Высш. шк., 1983.
2. Furman Ya. A. Processing of quaternion signals specifying spatially located group point objects // Pattern Recogn. and Image Analysis. 2002. 12, N 2. P. 175.
3. Введение в контурный анализ и его приложения к обработке изображений и сигналов /Под ред. Я. А. Фурмана. М.: Физматлит, 2002.
4. Фурман Я. А., Хафизов Д. Г. Распознавание групповых точечных объектов в трехмерном пространстве // Автометрия. 2003. 39, № 1. С. 3.
5. Кантор И. Л., Соловьевников А. С. Гиперкомплексные числа. М.: Наука, 1973.
6. Комплекснозначные и гиперкомплексные системы в задачах обработки многомерных сигналов /Под ред. Я. А. Фурмана. М.: Физматлит, 2004.
7. Khafizov D. G. Model of a noised quaternion signals // Pattern Recogn. and Image Analysis. 2003. 13, N 1. P. 110.

Марийский государственный  
технический университет,  
E-mail: RTS@MARSTU.MARI.RU

Поступила в редакцию  
3 июня 2004 г.